

МИНИСТЕРСТВО НАУКИ И ВЫСШЕГО ОБРАЗОВАНИЯ РОССИЙСКОЙ ФЕДЕРАЦИИ
ФЕДЕРАЛЬНОЕ ГОСУДАРСТВЕННОЕ АВТОНОМНОЕ ОБРАЗОВАТЕЛЬНОЕ УЧРЕЖДЕНИЕ
ВЫСШЕГО ОБРАЗОВАНИЯ
«НАЦИОНАЛЬНЫЙ ИССЛЕДОВАТЕЛЬСКИЙ ЯДЕРНЫЙ УНИВЕРСИТЕТ «МИФИ»
(НИЯУ МИФИ)

ИНСТИТУТ ЯДЕРНОЙ ФИЗИКИ И ТЕХНОЛОГИЙ
КАФЕДРА №40 «ФИЗИКА ЭЛЕМЕНТАРНЫХ ЧАСТИЦ»

ОТЧЕТ
О НАУЧНО-ИССЛЕДОВАТЕЛЬСКОЙ РАБОТЕ
**ПРОГРАММНАЯ ПЛАТФОРМА ДЛЯ
МНОГОЭТАПНОЙ ОБРАБОТКИ ДАННЫХ
ФИЗИЧЕСКОГО ЭКСПЕРИМЕНТА НА ОСНОВЕ
ФРЕЙМВОРКА GAUDI**

Научный руководитель
доц. к.ф-м.н.

_____ Е. Ю. Солдатов

Научный консультант
к.ф-м.н.

_____ А. С. Жемчугов

Студент

_____ Л. Л. Симбирятин

Москва 2025

Содержание

Введение	3
1 Эксперимент SPD	4
1.1 Основная цель эксперимента	4
1.2 Детектор	5
2 Offline программное обеспечение эксперимента SPD	6
2.1 Генерация и моделирование	6
2.2 Описание детектора	6
3 Фреймворк Gaudi	7
3.1 Архитектура Gaudi	7
3.2 Алгоритмы	8
3.3 Сервисы	9
3.4 Инструменты (Tools)	9
3.5 Конфигурирование приложения. Job options	11
3.6 Контроль и планирование	11
3.7 Работа Gaudi-приложения	12
3.8 Многопоточность в Gaudi: GaudiHive	13
4 Gaudi в SPD	15
4.1 Интеграция Pythia8	15
4.2 HepMC3	17
4.3 Интеграция GeoModel	17
4.4 Интеграция Geant4	18
5 Заключение и дальнейшие планы	21
Список использованных источников	22

1 Введение

2 Ускорительный комплекс NICA (Nuclotron based Ion Collider fAcility) является
3 проектом масштаба мегасайенс, реализуемым на базе ОИЯИ (Дубна, Россия). На кол-
4 лайдере предусмотрены две точки пересечения пучков заряженных частиц, в одной из
5 которых предполагается установить детектор SPD (Spin Physics Detector) с целью изу-
6 чения спиновой структуры протона и дейтрона. Коллайдер предоставляет уникальную
7 возможность для изучения поляризованных pp и dd столкновений с $\sqrt{s} = 27$ ГэВ и
8 светимостью порядка 10^{32} см $^{-2}$ с $^{-1}$.

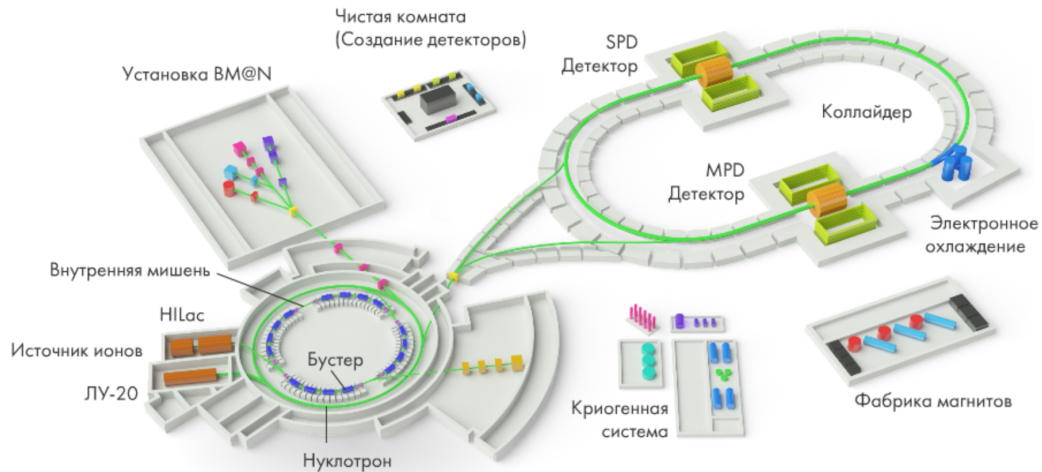


Рисунок 1 — Ускорительный комплекс NICA

9 Как и любой крупный эксперимент, SPD предполагает разработку своего физи-
10 ческого ПО. Такое ПО, главным образом, предназначено для реконструкции событий,
11 генерации Монте-Карло наборов, а также для автономной обработки данных. Для каж-
12 дой из перечисленных задач существуют специализированные библиотеки. Интеграция
13 этих библиотек в общий фреймворк является важной задачей.

14 Текущим вариантом физического ПО эксперимента SPD является пакет SpdRoot,
15 написанный на основе фреймворка FairRoot [1]. С его помощью рассчитывают физи-
16 ческие показатели детектора, производят возможные оптимизации и прочие подготови-
17 тельные мероприятия. Однако, являясь непосредственным наследником пакета Root,
18 SpdRoot наследует, в том числе, и все его недостатки. Также в SpdRoot не поддержи-
19 ваются методы многопоточного программирования.

20 По этим причинам к началу набора данных необходимо разработать фреймворк
21 для физического ПО эксперимента SPD на базе Gaudi [2]. В рамках прошедшего се-
22 местра были выполнены следующие задачи:

- 23 ● интеграция библиотеки Pythia8 (генерация первичных вершин);
- 24 ● интеграция библиотеки GeoModel (описание геометрии детектора);
- 25 ● начало интеграции пакета Geant4;

26 1 Эксперимент SPD

27 Несмотря на важность поиска проявлений частиц, выходящих за рамки Стан-
 28 дартной модели, в рамках барионной материи по-прежнему остается множество откры-
 29 тых вопросов. Даже протон не может считаться в полной мере изученной частицей. В
 30 наивной кварковой модели протон представляет собой комбинацию двух u и одного d
 31 кварка. Эта простейшая кварковая модель позволяет предсказать такие свойства как
 32 электрический заряд, изоспин, четность, магнитный момент. Этот результат является
 33 действительно удивительным, ведь такая модель не учитывает угловые моменты квар-
 34 ков, морские кварки, а также глюоны. КХД является современным инструментом опи-
 35 сания сильного взаимодействия, она с успехом применяется для описания множества
 36 процессов. Основным нюансом КХД является ее непertурбативность на низких энер-
 37 гиях, в частности, одной из нерешенных проблем остается описание свойств адронов (в
 38 том числе и протона) напрямую из динамики составляющих их кварков и глюонов.

39 Детектор SPD (Spin Physics Detecror) будет размещен в одной из двух точек
 40 столкновения пучков коллайдера NICA (Дубна, Россия). Целью построения SPD явля-
 41 ется изучение спиновой структуры нуклонов в поляризованных pp ($\sqrt{s} < 27$ ГэВ) и dd
 42 ($\sqrt{s} < 13.5$ ГэВ) столкновениях.

43 1.1 Основная цель эксперимента

44 Одним из способов описания внутренней партонной структуры нуклона является
 45 использование функций партонных распределений PDF (Parton Distribution Function).
 46 В неполяризованном простейшем случае эта функция описывает вероятность найти
 47 внутри нуклона партон, несущий определенную долю общего импульса. В общем же
 48 случае необходимо также учитывать не только продольную компоненту, но и попереч-
 49 ную (например, эффект Сиверса [3]), а также поляризацию как самого нуклона, так и
 50 партонов внутри него.

51 В то время как вклад кварков в общий спин нуклона был довольно точно измерен
 52 коллаборациями EMC, HERMES и COMPASS, измерения по глюонной компоненте либо
 53 являются менее точными, либо отсутствуют вовсе.

54 Основная цель эксперимента SPD - извлечь информацию о глюонных функци-
 55 ях распределения, зависящих от поперечного импульса (TMD PDFs), для протона и
 56 дейтрона, через измерение одинарных и двойных спиновых асимметрий в процессах
 57 рождения чармониев, очарованных частиц, а также прямых фотонов [4].

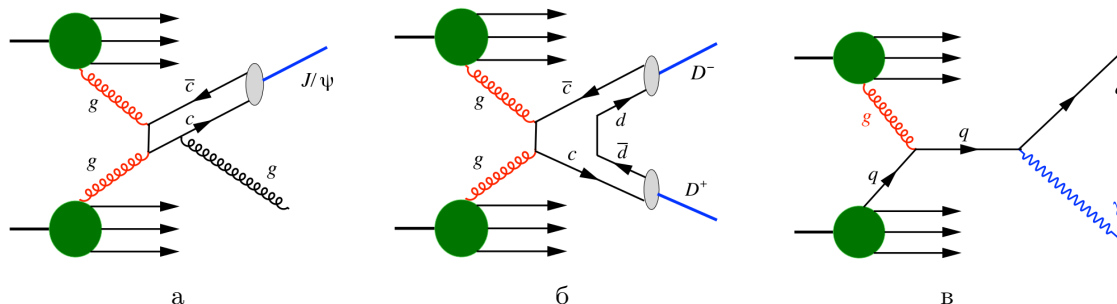


Рисунок 2 — Фейнмановские диаграммы процессов-пробников: рождение (а) чармониев, (б) очарованных частиц, (в) прямых фотонов

58 1.2 Детектор

59 Основной целью эксперимента является извлечение TMD PDF для глюонов че-
60 рез измерение спиновых асимметрий в процессах рождения чармониев, очарованных
61 частиц, а также прямых фотонов. Поставленная цель, а также обозначенные процессы-
62 пробники определяют вид и необходимые характеристики детектора SPD.

63 SPD представляет собой универсальный 4π детектор с характерной для коллай-
64 дерных экспериментов цилиндрической формой. Его компонентами являются:

- 65 • кремниевый вершинный детектор (VD) с разрешением выше 100 мкм для рекон-
66 струкции вторичных вершин распадов D мезонов;
- 67 • трековая система (TS) $\sigma_{p_T}/p_T \approx 2\%$;
- 68 • время-пролетная система (TOF) с разрешением порядка 60 пс для разделения
69 π/K и K/p ;
- 70 • детектор FАRICH для улучшения разделения π/K и K/p ;
- 71 • электромагнитный калориметр (ECal) с энергетическим разрешением $\sim 5\%/\sqrt{E}$
72 для регистрации фотонов;
- 73 • мюонная система (RS);
- 74 • пара счетчиков столкновений (BBC) и калориметров нулевых углов (ZDC) для
75 контроля поляризации и светимости;

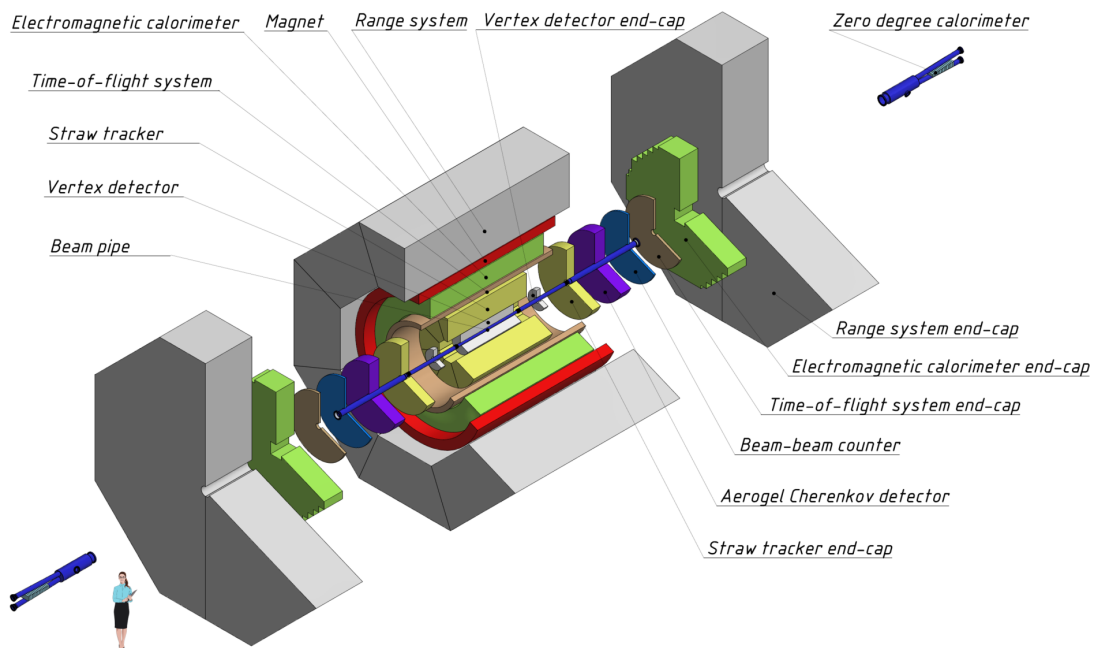


Рисунок 3 — Макет детектора SPD в полной сборке

76 В силу трудностей, возникающих при построении аппаратного триггера, для SPD
77 предполагается безтриггерная система сбора данных. В совокупности с высокой частотой
78 столкновений (до 12 МГц) и сотнями тысяч каналов детектора это представляет
79 собой сложную задачу по разработке эффективной системы сбора и обработки данных.

80 2 Offline программное обеспечение эксперимента SPD

81 Offline программное обеспечение предназначено для решения таких задач, как
82 реконструкция событий, их моделирование, а также проведение физического анали-
83 за полученных в результате эксперимента данных. Схематично эти этапы жизненного
84 цикла данных представлены на рисунке 4. Все эти этапы в рамках фреймворка должны
85 быть объединены в единую инфраструктуру.

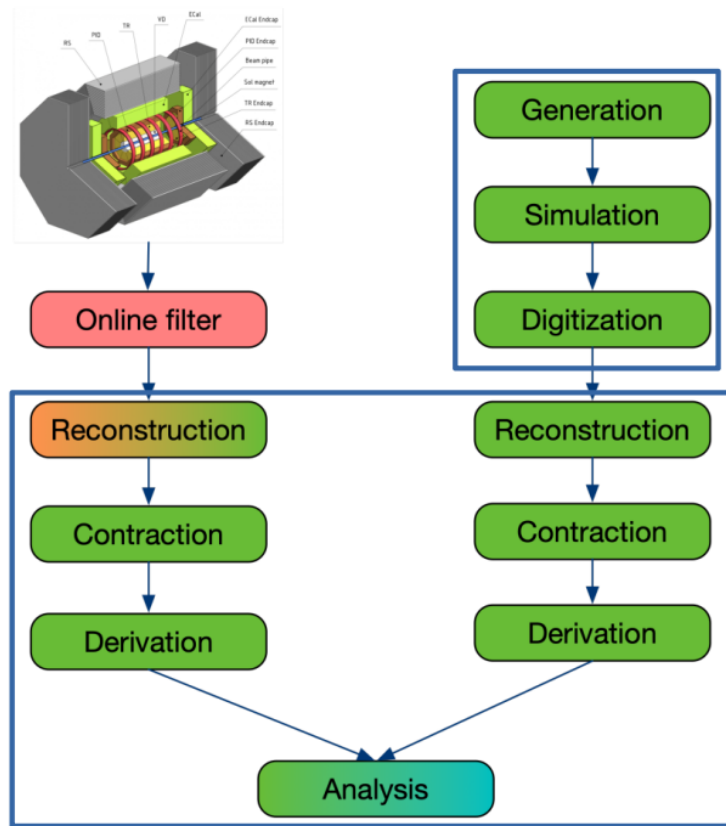


Рисунок 4 — Этапы обработки данных. За выделенные этапы отвечает offline ПО

86 2.1 Генерация и моделирование

87 Для моделирования протон-протонных столкновений используется генератор Pythia8
88 [5], дейтрон-дейтронные столкновения моделируются с помощью модели FRITIOF [6],
89 а для моделирования ядро-ядерных столкновений используется генератор UrQMD [7].
90 Для моделирования распространения частиц в детекторе, а также формирования от-
91 кликов в чувствительных элементах установки используется пакет Geant4 [8].

92 2.2 Описание детектора

93 Для описания геометрии детектора используется библиотека GeoModel [9]. Она
94 позволяет хранить геометрию детектора как отдельный независимый компонент, в том
95 числе записывать ее в базу данных SQLite. Выделение геометрии детектора в отдель-
96 ный компонент обусловлено тем, что многие алгоритмы реконструкции должны взаи-
97 модействовать с ней. Геометрия внутри Geant4 будет создаваться путем конвертации
98 геометрии из GeoModel.

99 3 Фреймворк Gaudi

100 Gaudi [2] представляет собой программный пакет, содержащий все необходимые
101 интерфейсы и компоненты для написания на его основе фреймворков для эксперимен-
102 тов в области физики высоких энергий. Изначально Gaudi разрабатывался по внут-
103 ренним нуждам коллаборации LHCb, однако вскоре после подключения к разработке
104 коллаборации ATLAS стало ясно, что пакет может быть легко трансформирован и под
105 любой другой эксперимент. Надежность пакета подтверждается его использованием в
106 многочисленных коллаборациях по всему миру.

107 3.1 Архитектура Gaudi

108 Одним из принципиальных решений при создании Gaudi стала изоляция поль-
109 зователя от деталей внутреннего устройства фреймворка. Достигается такая изоляция
110 за счет построения архитектуры, представляющей собой набор компонентов и правил
111 их взаимодействия. У каждого компонента есть свой интерфейс и функционал. Задача
112 же пользователя сводится к доопределению функционала конкретного компонента с
113 сохранением его интерфейса. Программно это осуществляется путем наследования от
114 одного из базовых классов.

115 Другим принципиальным решением стало явное разделение между данными и
116 алгоритмами, оперирующими этими данными. Такое разделение обусловлено естествен-
117 ным подходом: данные - это набор чисел, который не стоит перегружать каким-либо
118 дополнительным функционалом, а алгоритмы - это математические процедуры, прово-
119 димые с этими числами. Также для хранения данных на диске необходимо предоста-
120 вить соответствующие конвертеры. Таким образом, в Gaudi представлены следующие
121 базовые классы, предназначенные для пользователя:

- 122 • DataObject
- 123 • Algorithm
- 124 • Converter

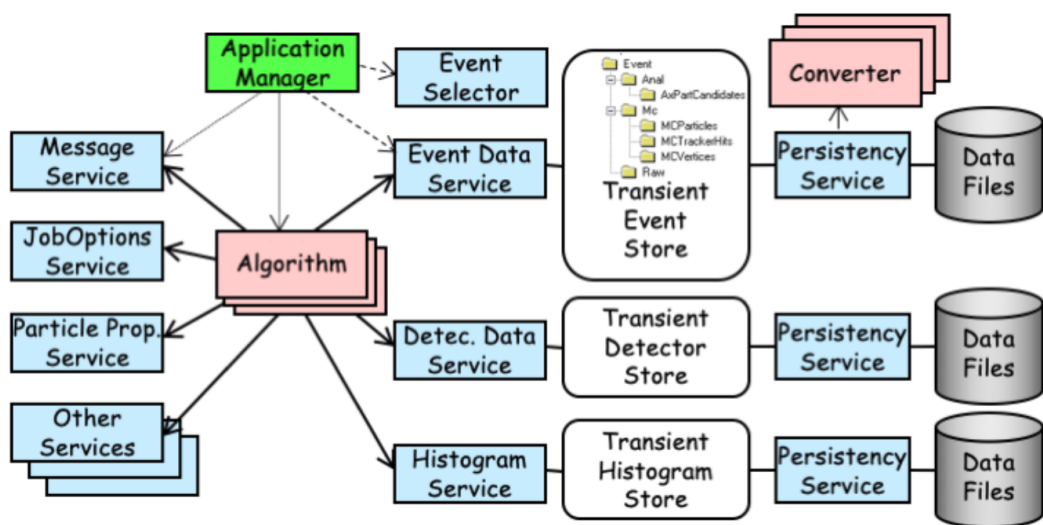


Рисунок 5 — Основные компоненты архитектуры Gaudi

125 3.2 Алгоритмы

126 Алгоритмы главным образом производят определенные действия с данными (ге-
 127 нерация, реконструкция и т. п.), основная часть модификации фреймворка под нужды
 128 конкретного эксперимента заключается в написании алгоритмов.

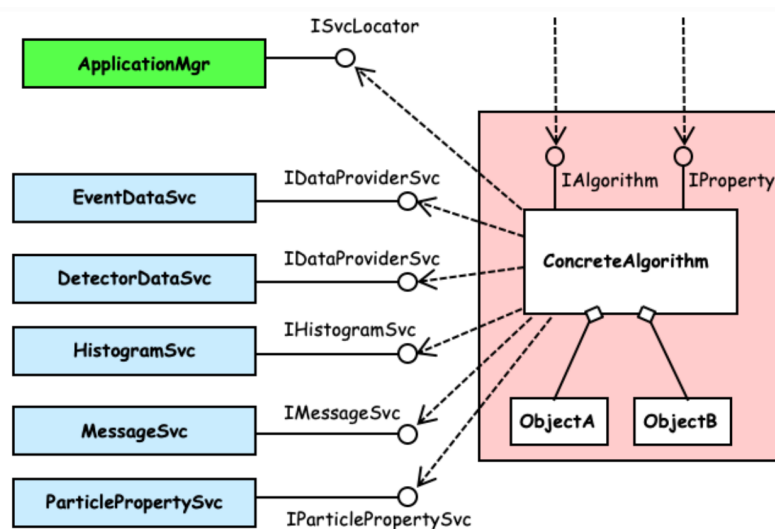


Рисунок 6 — Взаимодействие алгоритма с фреймворком в процессе работы

129 Алгоритм взаимодействует с элементами фреймворка посредством их интерфей-
 130 сов. Например, доступ к данным и их запись во временное хранилище осуществляется
 131 посредством интерфейса `IDataProviderSvc`, а в случае необходимости вывода алгорит-
 132 мом какой-либо информации можно воспользоваться `MessageSvc`, обращение к которо-
 133 му реализуется через интерфейс `IMessageSvc`.

134 Алгоритм является конфигурируемым. Так, перед запуском можно установить
 135 значения для внутренних переменных (например, пороговые значения для отборов со-
 136 бытий). Это возможно благодаря тому, что базовый класс `Algorithm` реализует сразу
 137 два интерфейса, в том числе `IProperty`, что дает возможность сервису `JobOptionSvc` в
 138 момент конфигурирования обращаться к полям алгоритма и задавать их значения. Вто-
 139 рым интерфейсом, который реализуется базовым классом `Algorithm`, является `IAlgorithm`.
 140 `IAlgorithm` используется для управления алгоритмом в процессе работы фреймворка.
 141 Также этот интерфейс содержит три чисто виртуальных метода, реализация которых
 142 целиком ложится на конечного пользователя:

- 143 • **Initialize**, который может быть использован для создания выходных гистограмм,
 144 конфигурирования побочных алгоритмов и т.п.
- 145 • **Execute**, который вызывается единожды на событие и совершает соответствующе-
 146 юе какой-либо физической задаче преобразования над данными, относящимися к
 147 этому событию. Для побочных алгоритмов `execute` можно вызывать более одного
 148 раза.
- 149 • **Finalize**, который вызывается в конце работы программы и может быть исполь-
 150 зован для подведения итоговой статистики, фитирования итоговых гистограмм и
 151 т.п.

152 3.3 Сервисы

153 Сервисы предназначены для решения общих задач, возникающих в ходе рабо-
154 ты приложения. К таковым можно отнести чтение и запись данных в Transient Data
155 Store, вывод сообщений, генерацию случайных чисел, получение свойств частиц и т. д.
156 Сервисы не относятся к какому-то конкретному алгоритму, они наравне с алгоритмами
157 являются самостоятельными компонентами фреймворка. Так, например, за создание
158 конкретного набора алгоритмов на основе конфигурационного файла отвечает сервис
159 JobOptionSvc.

160 Сервисы создаются единожды в начале работы приложения и затем вызываются
161 другими компонентами фреймворка. При этом при создании используется ленивая
162 инициализация. По умолчанию Application Manager создает только JobOptionsSvc и
163 MessageSvc.

164 Обращение к сервису должно осуществляться через его интерфейс. Для того
165 чтобы какой-либо компонент имел доступ к определенному сервису, компонент нуж-
166 но снабдить ссылкой или указателем на этот сервис. Для этого внутри фреймворка
167 существует функция serviceLocator.

168 Помимо создания алгоритмов, Gaudi также позволяет пользователю создавать
169 собственные сервисы. Для этого необходимо предоставить интерфейс нового сервиса,
170 также новый сервис должен быть наследником базового класса Service.

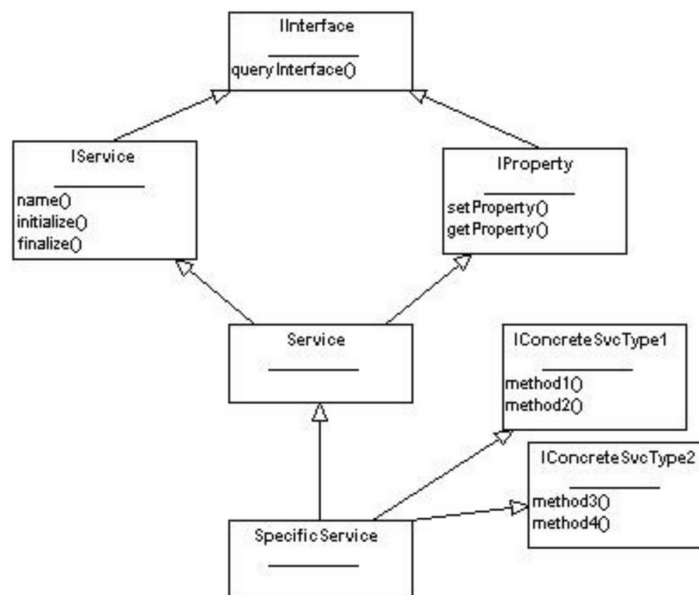


Рисунок 7 — Схема создания пользовательского сервиса.

171 3.4 Инструменты (Tools)

172 Алгоритмы могут использовать сервисы в ходе своей работы. При этом сервис
173 создается в единичном экземпляре и может использоваться сразу несколькими алго-
174 ритмами или другими сервисами. Это неизбежно ведет к отсутствию возможности
175 приватной настройки под каждого конкретного клиента. Также иногда хочется иметь
176 возможность конфигурировать код, исполняемый алгоритмом, динамически. Логично
177 выделить такой конфигурируемый код в отдельную сущность. Тогда эту сущность так-
178 же можно будет сделать динамически конфигурируемой и снабжать каждого клиента
179 своим собственным экземпляром. Такой сущностью в Gaudi являются *инструменты*
180 (*Tools*).

181 Если приватное конфигурирование инструмента не является необходимым и од-
 182 ним и тем же экземпляром могут пользоваться несколько алгоритмов или сервисов, то
 183 такой инструмент является *разделяемым*. В противном случае он является *приватным*.
 184 Различить, является инструмент приватным или разделяемым, можно по типу класса-
 185 родителя для данного инструмента: у разделяемых родителем является сервис ToolSvc,
 186 у приватных - конкретные алгоритмы либо же другие сервисы.

187 Сервис ToolSvc отвечает за создание инструментов и управление ими. Алгоритм
 188 запрашивает необходимые ему инструмент у ToolSvc, указывая, запрашивает ли он
 189 приватный экземпляр, путем объявления себя родителем для запрашиваемого инстру-
 190 мента. Алгоритмы, сервисы и другие инструменты могут объявлять себя родителями.

191 Базовым классом для создания собственных инструментов является AlgTool. При
 192 этом у разрабатываемого инструмента должен быть также и пользовательский интер-
 193 фейс с предоставляемым им функционалом. Иерархия классов для разработки инстру-
 194 ментов представлена на рисунке 8.

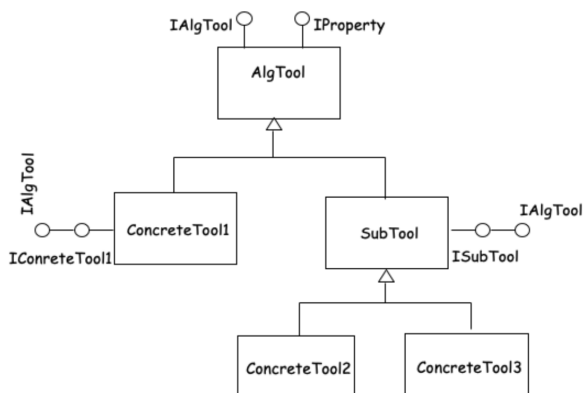


Рисунок 8 — Иерархия классов для разработки инструмента.

195 ToolSvc управляет инструментами. Он проверяет, доступен ли данный инстру-
 196 мент, и создает необходимый экземпляр после проверки, если он еще не существует. Ес-
 197 ли экземпляр инструмента существует, ToolSvc не будет создавать новый идентичный,
 198 а передаст алгоритму существующий экземпляр. Инструменты создаются по принципу
 199 “первого запроса”: первый алгоритм, запрашивающий инструмент, инициирует его со-
 200 здание. Взаимосвязь между алгоритмом, ToolSvc и инструментами показана на рисунке
 201 9.

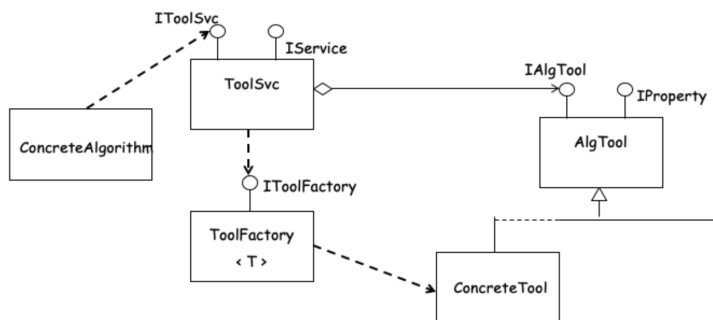


Рисунок 9 — Взаимодействие с ToolSvc.

202 3.5 Конфигурирование приложения. Job options

203 Под понятием *Job* имеется в виду запуск программы в определенной конфигура-
204 ции на определенных входных данных. Для того чтобы сконфигурировать *Job*, в Gaudi
205 предусмотрен механизм *JobOptions* файлов, представляющих собой набор команд, ин-
206 терпретируемых Gaudi. На языке этих команд описывается последовательность алго-
207 ритмов, их параметры, используемые сервисы, входные данные и многое другое.

208 Однако большинство современных экспериментов использует другой подход. Он
209 подразумевает конфигурирование задач с помощью скриптов на языке *Python*.

210 Ранее было сказано, что компоненты в Gaudi являются динамически конфигу-
211 руемыми. Для этого они должны быть отнаследованы от интерфейса *IProperty* и
212 базового класса *PropertyHolder*. Именно через задание *Properties* производится конфи-
213 гурирование приложения.

214 3.6 Контроль и планирование

215 Работа приложения начинается с создания экземпляра *ApplicationMgr*. *ApplicationMgr*
216 отвечает за создание и инициализацию минимального набора необходимых сервисов,
217 прежде чем управление будет передано другим компонентам (см. рисунок 10). *EventLoopMgr*
218 отвечает за управление циклом обработки событий и планирование алгоритмов. Суще-
219 ствует также возможность предоставить полный контроль над приложением компонен-
220 ту, реализующему интерфейс *IRunnable*. Это необходимо для интерактивных приложе-
221 ний, таких как отображение событий, интерактивный анализ и т.д.

222 Основными сервисами, которые *ApplicationMgr* необходимо создать, являются
223 *MessageSvc* и *JobOptionsSvc*.

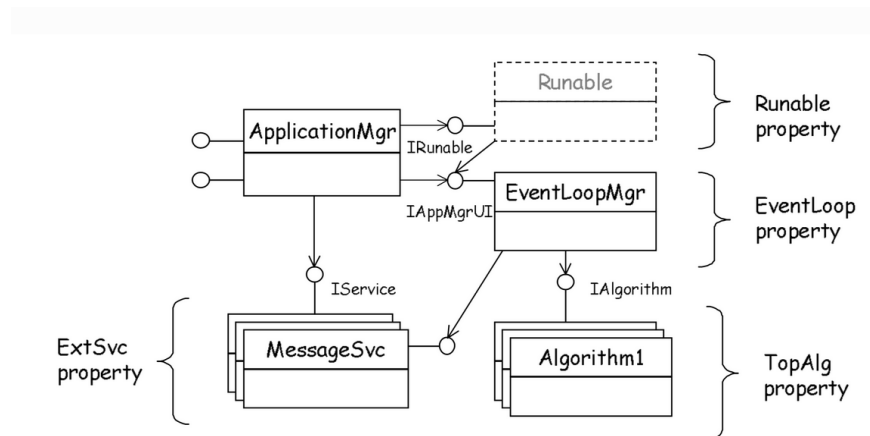


Рисунок 10 — Контроль и планирование в Gaudi.

224 3.7 Работа Gaudi-приложения

225 Общая схема работы приложения, написанного на базе Gaudi, представлена на
 226 рисунке 11:

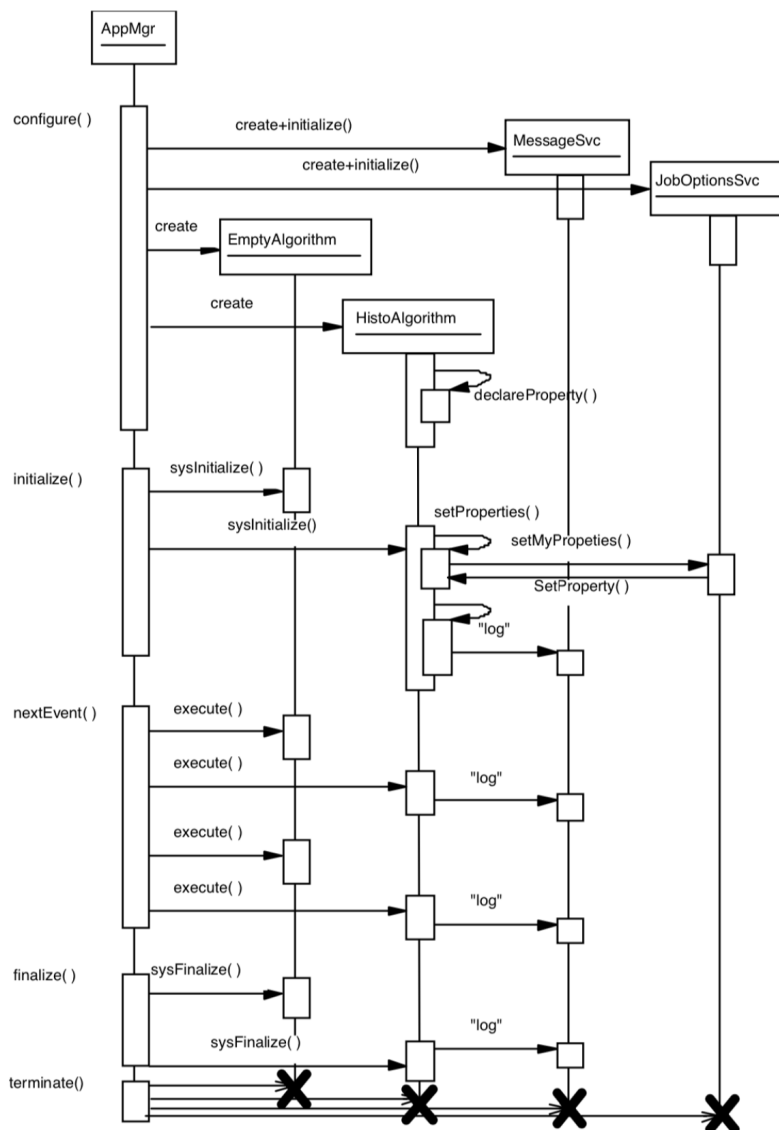


Рисунок 11 — Общая схема работы Gaudi-приложения

227 Порядок работы следующий:

- 228 • Application manager создает и инициализирует необходимые сервисы;
- 229 • создаются алгоритмы, указанные в JobOptions;
- 230 • устанавливаются свойства алгоритмов;
- 231 • Application manager начинает цикл обработки событий. Для каждого события вы-
 232 зываются алгоритмы в установленном порядке;
- 233 • по завершении цикла обработки событий алгоритмы завершаются;
- 234 • сервисы завершаются;
- 235 • освобождаются все ресурсы, программа завершается;

236 3.8 Многопоточность в Gaudi: GaudiHive

237 Описанная выше архитектура и порядок работы приложения - однопоточные.
238 GaudiHive [10],[11] является расширением Gaudi, предназначенным для повышения про-
239 изводительности путем использования многопоточности.

240 В своей основе GaudiHive использует концепцию параллельной обработки задач
241 (task parallelism, не путать task и job). Здесь задачей является выполнение алгоритма в
242 контексте обработки какого-либо события. Зависимости этих задач друг от друга могут
243 быть выражены в виде направленного ациклического графа (DAG), сформированного
244 исходя из ввода-вывода алгоритмов. Пример такой зависимости представлен на рисунке
245 12.

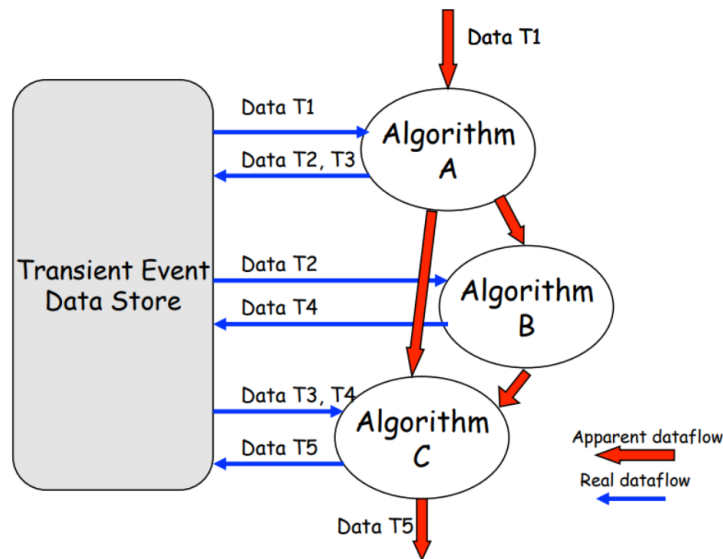


Рисунок 12 — Поток данных между алгоритмами, определяющий порядок выполнения задач.

246 GaudiHive планирует запуск задач исходя из доступности данных и ресурсов
247 (т.е. свободных экземпляров алгоритмов для обработки). На практике это достигается
248 следующим образом. Центральные элементы показаны на рисунке 13 и включают в себя
249 специальный параллельный планировщик (Scheduler) и потокобезопасное хранилище
250 (Whiteboard). Все алгоритмы должны объявлять свои входные и выходные данные на
251 этапе инициализации. Если нет входных или выходных данных, то ничего не нужно
252 делать.

253 Whiteboard - это менеджер хранилищ, каждое из которых является аналогом
254 TES из однопоточной версии и ассоциировано с конкретным обрабатываемым событи-
255 ем. Как только в Whiteboard появляются новые данные, планировщик проверяет, есть
256 ли в пуле алгоритмов экземпляры, зависимые от появившихся данных. В пуле может
257 быть более одного экземпляра данного типа алгоритма. Затем из пула алгоритмов за-
258 прашиваются конкретный свободный экземпляр алгоритма, все входные зависимости
259 которого имеются в наличии. Полученный экземпляр оформляется в задание и отправ-
260 ляется в пул потоков. Как только выполнение задания завершается, экземпляр снова
261 передается в пул алгоритмов.

262 Таким образом, GaudiHive позволяет распараллеливать обработку событий, а
263 также запускать несколько независимых алгоритмов параллельно в рамках обработки
264 одного события.

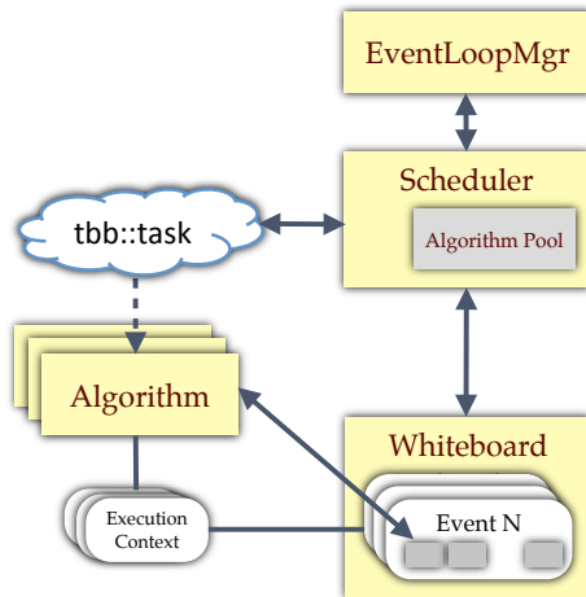


Рисунок 13 — Основные компоненты GaudiHive.

265 Событие считается обработанным, как только выполняются все вершины DAG
 266 (все алгоритмы). Но алгоритмы хранятся в пуле алгоритмов, они не связаны ни с каким
 267 конкретным событием. Для хранения информации о статусе обработки конкретного
 268 события используется концепция *Event Slots*.

269 Класс *EventSlot* можно рассматривать как словарь, ключами в котором являют-
 270 ся алгоритмы, а значениями - их статусы выполнения. В разных слотах один и тот же
 271 алгоритм может быть помечен как имеющий разные состояния. Каждый слот ассоци-
 272 ирован с собственным хранилищем TES в Whiteboard. На рисунке 14 показан пример
 273 моментального снимка работы GaudiHive. Каждый цвет соответствует различному со-
 274 стоянию выполнения алгоритма.

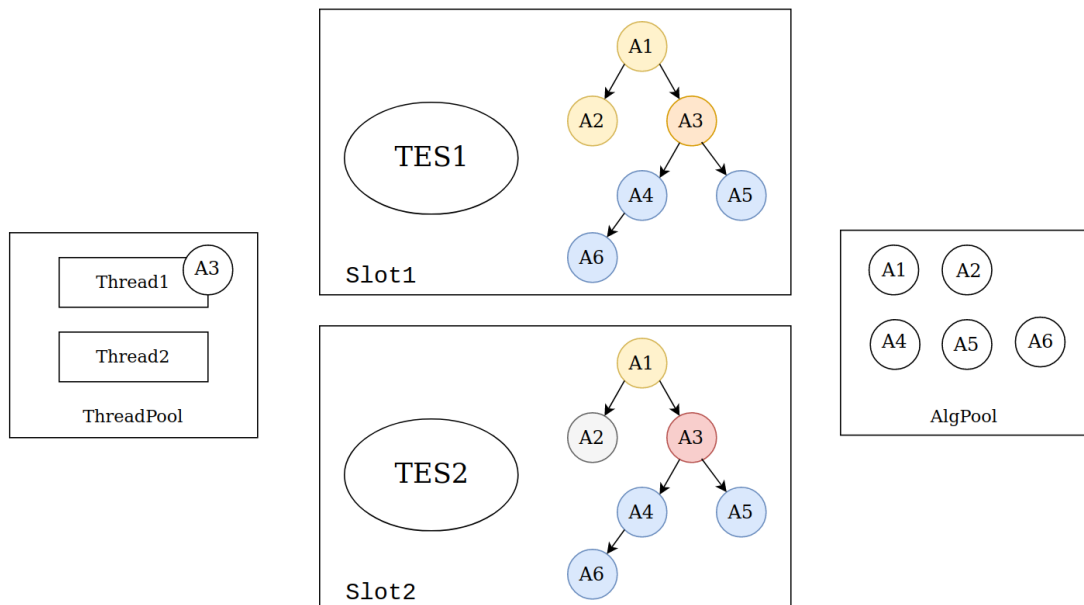


Рисунок 14 — Моментальный снимок GaudiHive в процессе работы.

275 4 Gaudi в SPD

276 В рамках разработки фреймворка на основе Gaudi было принято решение идти
277 в соответствии с циклом жизни данных, то есть в порядке генерация-моделирование-
278 реконструкция.

279 4.1 Интеграция Pythia8

280 Pythia8 [5] является универсальным Монте-Карло генератором событий для фи-
281 зики высоких энергий. Задачей генератора является создание коллекции выходных ча-
282 стиц, формирующих событие, в соответствии с некоторой физической моделью, началь-
283 ными частицами и их характеристиками.

284 Задать начальные параметры Pythia8 можно двумя способами: построчно вызы-
285 вать `pythia.readString(...)` или же один раз считать конфигурационный файл с помощью
286 `pythia.readFile(...)`. Второй способ выбирается в качестве основного, так как не требует
287 перекомпиляции проекта, а также позволяет сохранить настройки генератора, кото-
288 рые в дальнейшем могут понадобиться.

289 Сгенерированные события необходимо хранить на диске. В некоторых случаях
290 можно формировать комплексные задачи и одновременно с записью сразу же пере-
291 давать сформированные события следующему в цепочке алгоритму моделирования. В
292 любом случае необходимо учесть, что сгенерированные события должны быть пред-
293 ставлены в некотором универсальном виде. В качестве такого представления выби-
294 рается HerMC3. Pythia8 оснащена встроенным конвертером, переводящим внутреннее
295 представление события в HerMC3.

296 Генераторы событий, в соответствии с ходом их работы, в контексте Gaudi ло-
297 гично представить в виде алгоритмов. В таком случае генерация одного события будет
298 соответствовать вызову метода `execute()` соответствующего генератору алгоритма. Об-
299 щая схема организации классов для интеграции Pythia8 представлена на рисунке 15.

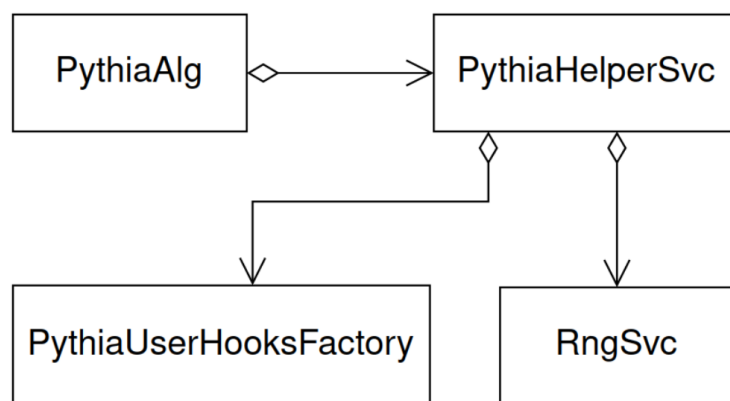


Рисунок 15 — Схема интеграции Pythia8.

300 Такой дизайн позволяет использовать многопоточность по аналогии с тем, как
301 это было сделано в классе `PythiaParallel`, поставляемым разработчиками библиотеки
302 Pythia8. В `PythiaParallel` создается пул потоков, каждому из которых соответствует
303 собственный объект класса Pythia8. Эти объекты создаются путем клонирования вспо-
304 могательного объекта `pythiaHelper` класса Pythia8, который сам в генерации участия не
305 принимает, а служит лишь для сбора статистики с прочих экземпляров, для которых
306 он выступает в роли прототипа.

307 В нашем случае такой прототип хранится в сервисе PythiaHelperSvc. Настрой-
 308 ка этого прототипа производится через задание свойств самого сервиса в JobOptions.
 309 PythiaHelperSvc выступает в роли фабрики для создания экземпляров Pythia8 на основе
 310 хранимого им прототипа. Указатели на все созданные экземпляры сохраняются в сер-
 311 висе для сбора статистики, сервис же и отвечает за их уничтожение. Алгоритмы класса
 312 PythiaAlg являются клиентами PythiaHelperSvc. В методе *initialize()* они запрашивают
 313 экземпляр Pythia8.

314 Если Pythia8 используется совместно с другими библиотеками, то необходимо,
 315 чтобы во всех объектах, так или иначе ответственных за генерацию чего-либо, ис-
 316 пользовались одни и те же генераторы случайных чисел. Для этого вводится сервис
 317 RngSvc, выступающий в роли фабрики генераторов случайных чисел. Создаваемые в
 318 PythiaHelperSvc объекты Pythia8 снабжаются такими генераторами.

319 Также библиотека Pythia8 предоставляет пользователю возможность изменять
 320 стандартное поведение Pythia8 через механизм хуков. Созданный хук должен быть на-
 321 следником класса Pythia8::UserHooks. Для динамического создания хуков используется
 322 класс PythiaUserHooksFactory, в котором зарегистрированы все возможные для созда-
 323 ния виды хуков. Набор желаемых к использованию хуков передается в PythiaHelperSvc
 324 через JobOptions.

325 В разработанном дизайне есть одно ключевое отличие от *PythiaParallel*: в случае
 326 GaudiHive невозможно заранее знать, в какой поток попадет данный генератор, следо-
 327 вательно, невозможно назначить ему строго определенное число событий, которое он
 328 должен сгенерировать. Это ведет к потере детерминированности результата, что, ско-
 329 рее всего, не является желательным сторонним эффектом. Упрощенный пример потери
 330 детерминированности для случая двух потоков приведен на рисунке 16.

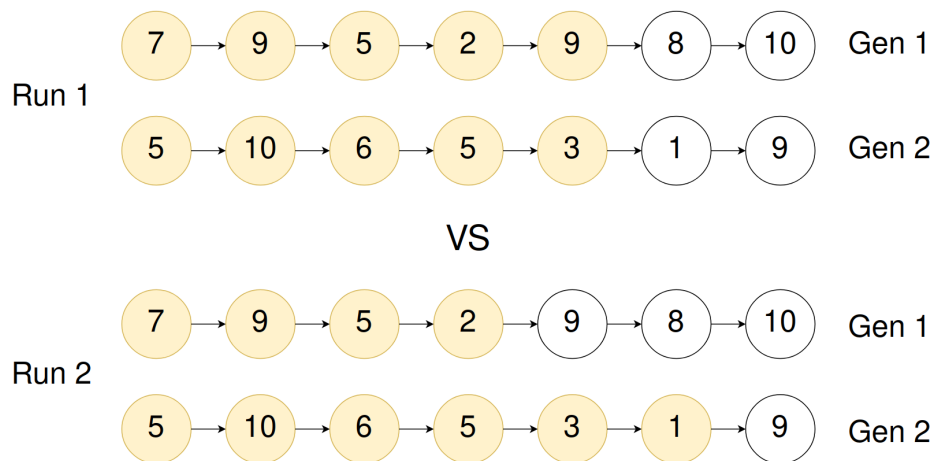


Рисунок 16 — Потеря детерминированности при многопоточной генерации за счет того, что заранее неизвестно, сколько раз каждый генератор будет вызван. В Run1 и Run2 получаются разные наборы чисел.

331 Устранить возникшую неопределенность возможно, если для каждого генериру-
 332 емого события будет строго определенный seed для генератора. Рассчитывать этот seed
 333 можно на основе номера события и общего для данного запуска seed, передаваемого
 334 через JobOptions.

335 4.2 HepMC3

336 Библиотека HepMC3 [12] предназначена для хранения событий, создаваемых ге-
337 нераторами. Запись HepMC3 состоит из двух частей. Первая хранит информацию о
338 параметрах генератора, вторая содержит вершины и ассоциированные с ними части-
339 цы. Частицы без конечной вершины считаются финальными.

340 Записи представлены объектами класса GenEvent. GenEvent может быть сери-
341 ализован в простую структуру GenEventData, которую легко записать на диск. Для
342 записи и чтения используются наследники классов HepMC3::Reader и HepMC3::Writer.
343 Библиотека поддерживает несколько форматов записи. Наиболее производительным и
344 экономным с точки зрения используемой памяти является формат ROOTTree - бинар-
345 ный формат, основанный на использовании TTree из пакета ROOT [13]. Поддержива-
346 ется также запись и в простые текстовые ASCII файлы.

347 Для записи HepMC3 в файлы разработан потокобезопасный сервис HepMCWriter.
348 Он держит очередь запросов на запись, запросы могут поступать из разных потоков.
349 Запросы обрабатываются в рабочем потоке, принадлежащем сервису.

350 4.3 Интеграция GeoModel

351 GeoModel [9]- это библиотека с минимальным числом зависимостей, предназна-
352 ченная для описания детектора и хранения этого описания в базе данных. В рамках
353 GeoModel объекты детектора хранятся в виде дерева объектов, корнем которого являет-
354 ся так называемый мировой объем. Таким образом, принцип представления геометрии
355 полностью аналогичен тому, как это реализовано в Geant4. Библиотека GeoModel снаб-
356 жена конверторами, переводящими представление геометрии в формат, используемый
357 в Geant4.

358 Так как описание геометрии может потребоваться многим компонентам фрейм-
359 ворка, то внутри Gaudi GeoModel реализуется в виде сервиса. В рамках проделанной
360 работы был разработан соответствующий сервис GeoModelSvc, основными задачами
361 которого являются:

- 362 • Обеспечение подключения к базе данных с описанием геометрии, проверка кор-
363 ректности подключения;
- 364 • Выгрузка элементов геометрии из базы данных (по первому запросу), создание
365 дерева объектов;
- 366 • Предоставление мирового объема по запросу;

367 GeoModelSvc представляет собой фасад, изолирующий классы GeoModel от поль-
368 зователя. На данном этапе также можно предвидеть, что в дальнейшем (например, на
369 этапе реконструкции) может потребоваться не все дерево объемов, а лишь какая-то
370 конкретная подсистема детектора. С целью предоставления такого функционала был
371 разработан соответствующий дизайн, представленный на рисунке 17. Инструменты, ре-
372 ализующие интерфейс IDetGeoTool, являются клиентами GeoModelSvc и на его основе
373 добывают параметры подсистемы, к которой они относятся.

374 Также возможно на определенном этапе придется создать более абстрактную
375 сущность для получения геометрии, не привязанную к конкретной библиотеке.

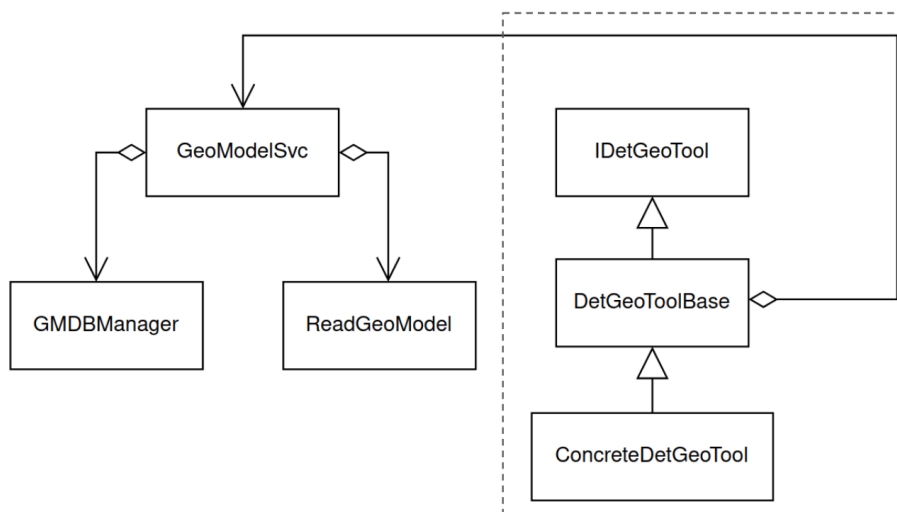


Рисунок 17 — Схема интеграции GeoModel.

376 4.4 Интеграция Geant4

377 Geant4 [8] предназначен для моделирования прохождения частиц через вещество
 378 детектора. Работой Geant4-приложения управляет объект класса G4RunManager. Он
 379 определяет ход выполнения программы и управляет циклом моделирования событий.
 380 G4RunManager также отвечает за управление процедурами инициализации, определен-
 381 ными в методах Initialization-классов, предоставляемых пользователем. С их помощью
 382 G4RunManager получает всю информацию, необходимую для создания и запуска си-
 383 муляции, включая конструкцию детектора, моделируемые частицы и ассоциированные
 384 с ними процессы, правила генерации первичных частиц и т.д. К Initialization-классам
 385 относятся:

- 386 • *G4VUserDetectorConstruction* - предоставляет информацию о конструкции детек-
 387 тора;
- 388 • *G4VUserPhysicsList* - предоставляет информацию об учитываемых в моделирова-
 389 нии физических процессах;
- 390 • *G4VUserActionInitialization* - предоставляет Action-классы;

391 Initialization-классы используются для инициализации всего процесса моделиро-
 392 вания, в то время как Action-классы вызываются непосредственно в ходе моделирова-
 393 ния на строго определенных этапах и могут использоваться как для сбора информации,
 394 так и для влияния на сам процесс моделирования. Общая схема пользовательских клас-
 395 сов в Geant4 представлена на рисунке 18. К Action-классам относятся:

- 396 • *G4UserRunAction*
- 397 • *G4UserEventAction*
- 398 • *G4UserStackingAction*
- 399 • *G4UserTrackingAction*
- 400 • *G4UserSteppingAction*

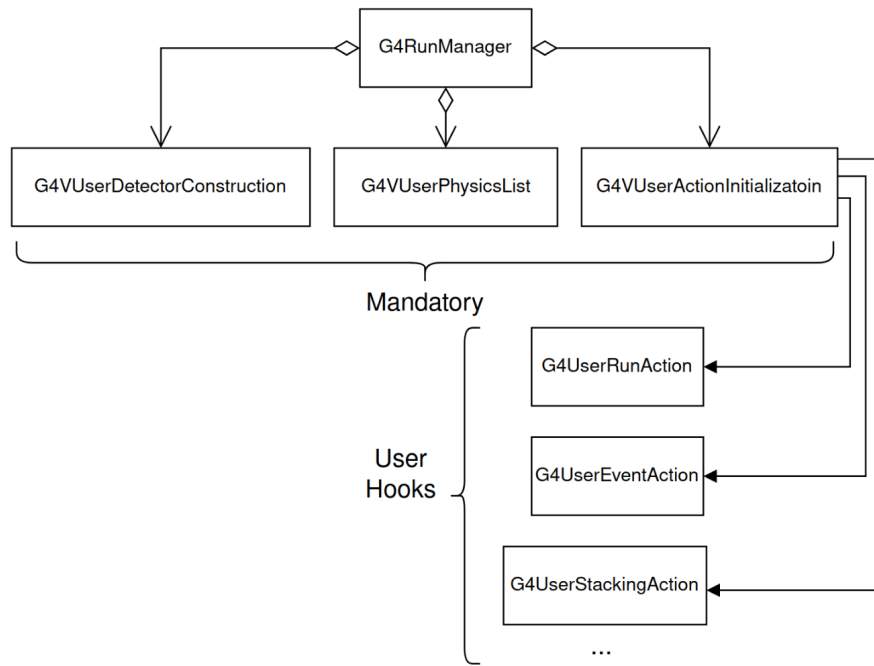


Рисунок 18 — Схема пользовательских классов в Geant4.

401 В контексте интеграции Geant4 в Gaudi необходимо разработать набор клас-
 402 сов, которые будут представлять собой каркас для инкапсуляции и конфигурирования
 403 Geant4-частей внутри Gaudi.

404 Каждый из Initialization-классов предлагается вынести в отдельный сервис, как
 405 это показано на рисунке 19.

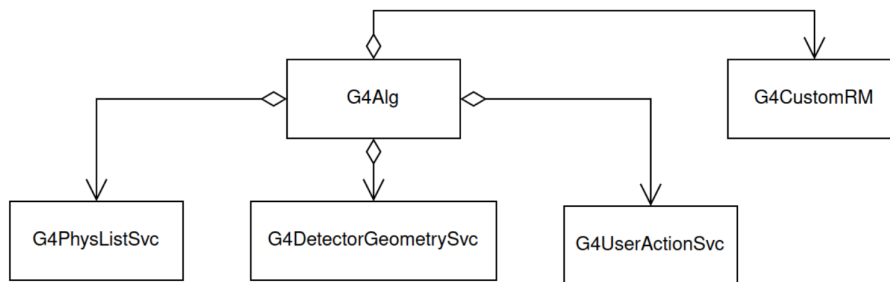


Рисунок 19 — Выделение Initialization-классов в сервисы в рамках Gaudi.

406 Сервисы, являясь частью инфраструктуры Gaudi, будут обладать всеми её пре-
 407 имуществами, главным среди которых является возможность динамического конфигу-
 408 рирования. Таким образом, без необходимости в пересборке, пользователи будут спо-
 409 собны через механизм JobOptions выбирать конкретные реализации того или иного
 410 компонента из Geant4. С точки же зрения разработки прикладного кода, конечному
 411 пользователю будет необходимо реализовывать интерфейсы, относящиеся к определен-
 412 ному сервису. Рассмотрим предлагаемое устройство всех трех сервисов.

413 Устройство G4PhysListSvc довольно простое, оно представлено на рисунке 20 и
 414 следует идее определения физических процессов в Geant4.

415 Сервис содержит объекты, реализующие два типа интерфейсов. Объект с ин-
 416 терфейсом IG4PhysListTool задается в единичном экземпляре, он служит в качестве

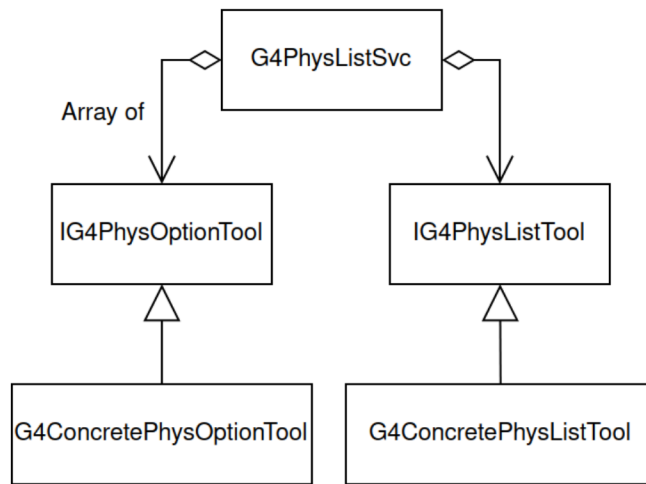


Рисунок 20 — Устройство G4PhysListSvc.

417 фабрики для PhysicsList. PhysicsList можно расширить путем задания опций, фабри-
 418 ками которых будут объекты с интерфейсом IG4PhysOptionTool.

419 Устройство G4DetectorGeometrySvc сложнее, оно представлено на рисунке 21.

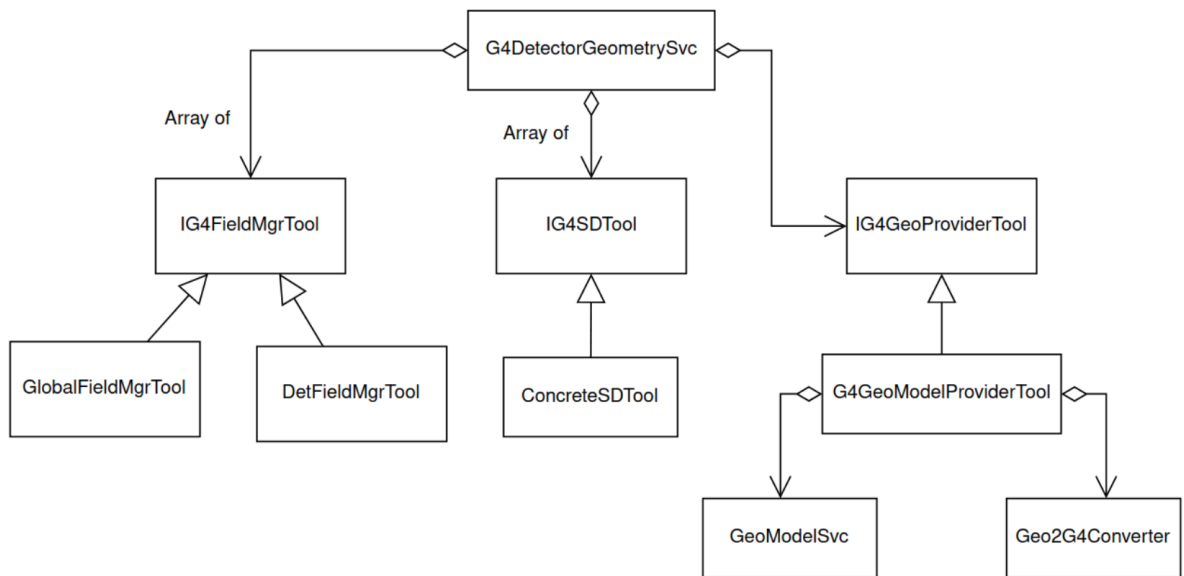


Рисунок 21 — Устройство G4DetectorGeometrySvc.

420 IG4GeoProviderTool отвечает за конструирование дерева объемов в Geant4. Кон-
 421 кретной реализацией является, например, G4GeoModelProviderTool, работающий в ко-
 422 операции с GeoModelSvc.

423 IG4SDTool является фабрикой чувствительных детекторов. То есть разработав
 424 Geant4-класс для чувствительного детектора, в Gaudi также необходимо будет предо-
 425 ставит соответствующий ConcreteSDTool.

426 Для управления магнитными полями используются IG4FieldTool. Поля могут
 427 быть как локальными для какого-то участка, так и глобальными для всего детектора.

428 Наконец, устройство G4UserActionSvc представлено на рисунке 22. G4UserActionSvc
 429 держит MasterTool для каждого вида Action-класса. MasterTool, в свою очередь держит
 430 массив конкретных Tool для данного Action-класса.

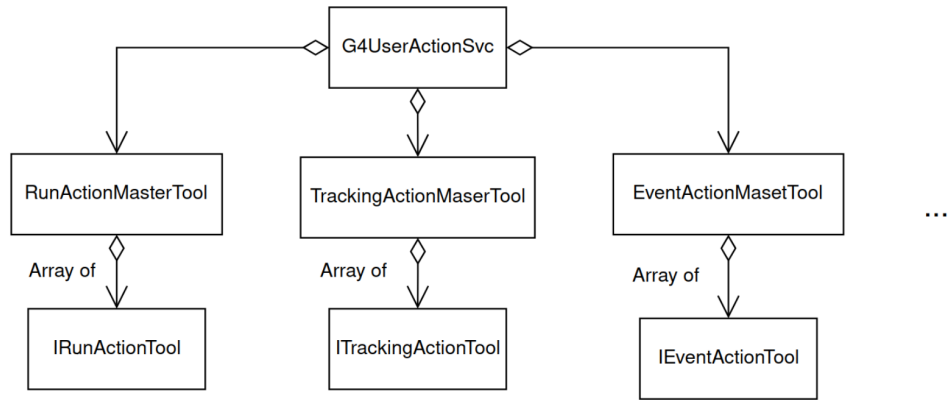


Рисунок 22 — Устройство G4UserActionSvc.

431 5 Заключение и дальнейшие планы

432 Данная работа посвящена разработке offline программного обеспечения для экс-
 433 перимента SPD на базе платформы Gaudi. Были рассмотрены основные компоненты
 434 и архитектура Gaudi, многопоточная архитектура GaudiHive, а также основные эта-
 435 пы жизненного цикла данных в физическом эксперименте. Каждый из этапов требует
 436 использования специализированных библиотек, которые необходимо интегрировать в
 437 общий фреймворк.

438 Результатами проделанной работы стали:

- 439 • интеграция генератора Pythia8 в инфраструктуру Gaudi в виде соответствующего
 440 набора из алгоритма, сервиса и фабрики хуков. В дальнейшем, если потребуются
 441 другие генераторы, они могут быть интегрированы аналогичным образом;
- 442 • обеспечение записи сгенерированных событий на диск в формате HepMC в виде
 443 соответствующего потокобезопасного сервиса;
- 444 • интеграция библиотеки GeoModel в инфраструктуру Gaudi в виде соответствующего
 445 сервиса;
- 446 • начат процесс интеграции библиотеки Geant4 в инфраструктуру Gaudi. Разрабо-
 447 тан дизайн классов, представляющих собой каркас для работы с Geant4 внутри
 448 Gaudi. Текущий дизайн является однопоточным;

449 Дальнейшие планы:

- 450 • завершить интеграцию Geant4 с однопоточным дизайном. Разработать и реализо-
 451 вать многопоточный дизайн;
- 452 • приступить к разработке прикладных алгоритмов реконструкции;
- 453 • осуществить интеграцию Gaudi фреймворка с другими компонентами ПО экс-
 454 перимента SPD;

455 СПИСОК ИСПОЛЬЗОВАННЫХ ИСТОЧНИКОВ

- 456 1. The FairRoot framework / M. Al-Turany [и др.] // Journal of Physics: Conference
457 Series. — 2012. — Дек. — Т. 396, № 2. — С. 022001.
- 458 2. *Mato P.* GAUDI-Architecture design document. — 1998. — Ноябрь.
- 459 3. *Sivers D. W.* Single Spin Production Asymmetries from the Hard Scattering of Point-
460 Like Constituents // Phys. Rev. D. — 1990. — Т. 41. — С. 83.
- 461 4. On the physics potential to study the gluon content of proton and deuteron at NICA
462 SPD / A. Arbutov [и др.] // Prog. Part. Nucl. Phys. — 2021. — Т. 119. — С. 103858. —
463 arXiv: 2011.15005 [hep-ex].
- 464 5. An introduction to PYTHIA 8.2 / T. Sjöstrand [и др.] // Comput. Phys. Commun. —
465 2015. — Т. 191. — С. 159–177. — arXiv: 1410.3012 [hep-ph].
- 466 6. *Andersson B., Gustafson G., Nilsson-Almqvist B.* A model for low-pT hadronic reactions
467 with generalizations to hadron-nucleus and nucleus-nucleus collisions // Nuclear Physics
468 B. — 1987. — Т. 281, № 1. — С. 289–309. — ISSN 0550-3213.
- 469 7. Microscopic models for ultrarelativistic heavy ion collisions / S. A. Bass [и др.] // Prog.
470 Part. Nucl. Phys. — 1998. — Т. 41. — С. 255–369. — arXiv: nucl-th/9803035.
- 471 8. GEANT4—a simulation toolkit / S. Agostinelli [и др.] // Nucl. Instrum. Meth. A. —
472 2003. — Т. 506. — С. 250–303.
- 473 9. Going standalone and platform-independent, an example from recent work on the
474 ATLAS Detector Description and interactive data visualization / S. A. Merkt [и др.] //
475 European Physical Journal Web of Conferences. Т. 214. — 07.2019. — С. 02035. —
476 (European Physical Journal Web of Conferences).
- 477 10. *Hegner B., Mato P., Piparo D.* Evolving LHC data processing frameworks for efficient
478 exploitation of new CPU architectures. — 2012.
- 479 11. Introducing concurrency in the Gaudi data processing framework / M. Clemencic [и
480 др.] // Journal of Physics: Conference Series. — 2014. — Т. 513, № 2.
- 481 12. The HepMC3 event record library for Monte Carlo event generators / A. Buckley [и
482 др.] // Comput. Phys. Commun. — 2021. — Т. 260. — С. 107310. — arXiv: 1912.08005
483 [hep-ph].
- 484 13. ROOT: A C++ framework for petabyte data storage, statistical analysis and visualization /
485 I. Antcheva [и др.] // Comput. Phys. Commun. — 2009. — Т. 180. — С. 2499–2512. —
486 arXiv: 1508.07749 [physics.data-an].